

火山灰質粘性土の力学的性質

熊本大学工学部 正員 ○北園芳人
〃 〃 鈴木敦巳

まえがき

火山灰質粘性土は自然状態(地山)では比較的安定しており、切土については盛土ほど問題とはならない。しかし、盛土においては、自然含水比が高く間げき比も大きく、さらに液透比が大きいため、擾乱による強度低下が大きいことは周知のとおりである。このような火山灰質粘性土について、交通荷重を考えた場合の盛土地盤の強度変化を対象として、その力学的性質を明らかにすることは重要なことである。そのため、これまでにはできるだけ現場施工に近いと思われる自然含水比・密固め供試体を用いて研究を行なってきだが、これまで完全飽和ではないため、間げき水圧の挙動を充分に把握できなかつた。そこで、今回は、完全飽和供試体を作製し、三軸試験を行ない、密固め供試体と比較検討した。

1. 試験方法

完全飽和供試体を作製するにあたり今回、試料(赤ぼく、黒ぼく)を液性限界以上で練返し、大型圧密タンクで予備圧密を行なつた。圧密圧力は0.5kgf/cm²(49kPa)(圧密後の含水比は自然含水比に近い・表-1)。圧密時間は1週間(ほぼ一次圧密終了と思われる)とした。予備圧密後、直徑50mm、高さ125mmの供試体を作製した。

試験方法は、供試体をセットし、間げき圧縮数(B値)を測定し、その後バックプレッシャーを負荷し完全飽和をめざした。負荷圧力は1.0kgf/cm²(98kPa)、負荷時間は20時間以上。その後、再びB値を測定し、B=1にならることを確かめてから、バックプレッシャーを負荷した状態で、拘束圧Pc=1.0kgf/cm²(98kPa)で等方圧密を24時間行なつた後、非排水三軸圧縮試験を行なつた。

2. 試験結果

応力-ひずみ曲線(図-1, 2)が飽和供試体と密固め供試体とでは、異なる。飽和供試体では軸ひずみの小さな部分での応力増加が著しく、変形係数E₅₀でのひずみ(E₅₀)が非常に小さくなり、図-1, 2の例では、赤ぼく:E₅₀=0.6%、黒ぼく:E₅₀=0.4% (密固め供試体の場合、赤ぼく:E₅₀=2.9%、黒ぼく:E₅₀=0.9%)である。そのため、破壊強度((σ_c-σ_b))が密固め供試体に比べてかなり小さい(特に赤ぼく)にもかかわらず、変形係数は逆に2.5~3倍と大きくなっている。密固め供試体は密固めにより相当乱され、ランダム構造に近いと思われるが、まだ完全に乱されていない綿毛構造が残っていると考えられる(密固め供試体の液透比(S_g)は赤ぼく:S_g=8、黒ぼく:S_g=2、練返し供試体は、赤ぼく:S_g>50、黒ぼく:S_g=16²⁾)。つまり、残留している綿毛構造等が、せん断変形に抵抗して破壊強度を大きくしていると考えられる。飽和供試体は注水練返し後、予備圧密を行なつてゐるため、綿毛構造の破壊や、綿毛構造に付着していた準拘束水の自由水化等によつて自由水量が増加しているため破壊強度は小さくなる。しかし、圧密したことにより、わずかながら配向構造が生じると考えられ、せん断初期にその影響が現われている。

表-1 試料の諸元

	飽和供試体		密固め供試体	
	赤ぼく	黒ぼく	赤ぼく	黒ぼく
自然含水比(%)	107	199	101	220
比重	2.86	2.65	2.79	2.54
液性限界(%)	113	204	118	252
塑性限界(%)	83	158	81	201
作製時	含水比(%)	102.0	185.8	96.6
	P _d (kgf/cm ²)	0.715	0.446	0.706
非排水三軸圧縮試験時	含水比(%)	85.0	156.3	90.3
	P _d (kgf/cm ²)	0.834	0.516	0.783
	(σ _c -σ _b)(kgf/cm ²)	1.298	1.518	2.304
	E ₅₀ (kgf/cm ²)	124	184	41
	ε _f (%)	14.9	12.7	15.0
	A _f	0.47	0.36	0.19
圧縮指數(C _c)	0.65	0.99	0.58	1.00
膨潤指數(C _s)	0.07	0.17	0.08	0.30
破壊強度(M)	1.64	1.62	1.74	1.52

間げき水圧とひずみの関係を図示すると図-3のようになる。飽和供試体の場合、 $\epsilon_a \leq 5\%$ で間げき水圧発生量の90%が発生し、破壊ひずみの実(+)ではやや減少している。一方、突固め供試体の場合、間げき水圧発生量が少なく、 $\epsilon_a \leq 10\%$ では、ひずみ増加に対してほぼ直線的に増加して破壊ひずみ近くまで緩やかに増加している。つまり、突固め供試体の場合、ひずみに対する間げき水圧の発生に遅れはみられない。しかし、こ处に応力を考慮した有効応力経路図(図-4,5)を考えると、間げき水圧の発生は遅れているといえる。これは、突固め供試体の場合、完全に飽和していないことや、工粧子構造的には綿毛構造が残っており、それに付着している多量の準拘束水が完全に有効水として働いていないことが原因として考えられる。飽和供試体の場合、せん断初期($\epsilon_a \approx 0.5\%$)までは間げき水圧の発生が遅れているように見えるのは、軸差応力の増加が急激であるためであり、図-3の $\sigma_1 - \epsilon_a$ 曲線の形は、正規圧密粘性土としては一般的な形といえる。

3. 考察

間げき水圧の発生経路は、突固め供試体と飽和供試体で異なることは明確に打ち立た。しかし、図-4,5の破壊線の傾き M や、Roscoe等の理論曲線、表-1の圧縮指数 C_c 、膨潤指数 C_s についても、大差がない。つまり、両方の供試体において、今回は試料が異なることも考慮すると、供試体の作製方法や、バッファプレッシャー負荷等の違い(完全飽和でないことや準拘束水の自由水化等の影響)が、せん断初期の間げき水圧の発生や、破壊強度等にみられるが、火山灰質粘性土の力学的特性(特に長時間載荷試験、例えばクリープ試験等)が大きく異なるところとは現段階では考えられない。

あとがき

今回は、両方の供試体で試料が異なるので、本来は同じ試料で比較すべきである。そのためには補足実験が必要であると思われる。

最後に、実験やデータ整理に協力してくれた卒研究生の高畠、丸尾、柳原君に感謝の意を表します。

参考文献

- 1) 北園・鈴木:「火山灰質粘性土の非排水強度に対する圧密効果」、工学会第35回軟弱地盤講演会講演概要集 S.55.9
- 2) 斎藤昭郎:「阿蘇火山灰土の理工学的研究(その1)」、鉱本博工学部研究報告第22巻第2号、S.42.9.

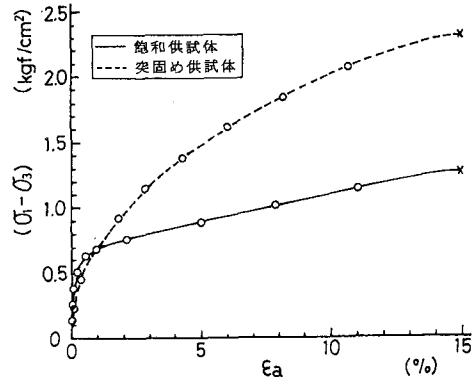


図-1 応力-ひずみ曲線(赤ぼく)

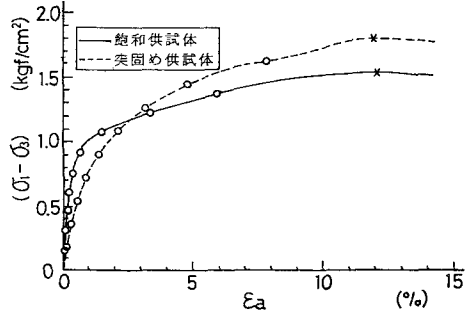


図-2 応力-ひずみ曲線(黒ぼく)

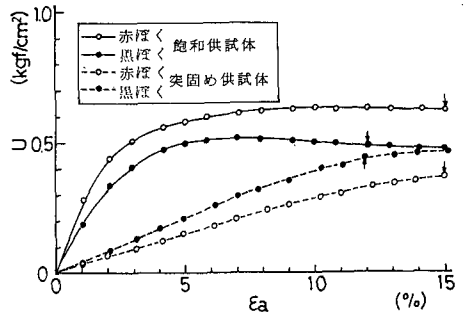


図-3 間げき水圧-ひずみ曲線

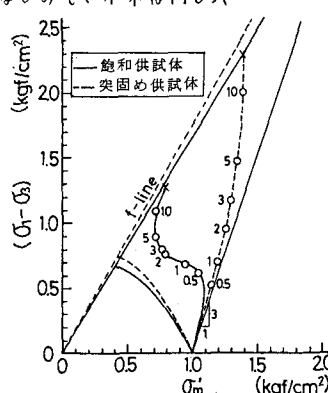


図-4 有効応力経路図(赤ぼく)

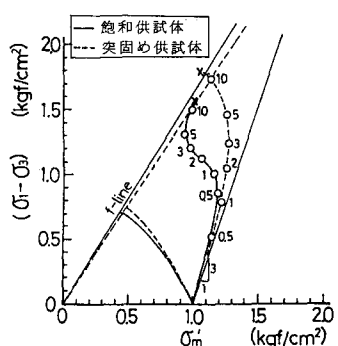


図-5 有効応力経路図(黒ぼく)